

绕任意轴 μ 旋转 对应的欧拉角的新求解公式

王美山,李文亮,杨传路,王德华,徐 强,任廷琦

(鲁东大学 物理与电子工程学院,山东 烟台 264025)

摘要:首先回顾了如何根据欧拉角得到转动操作的表示矩阵,然后应用余弦定理、简单的几何关系以及群的特征标理论得到了求解绕任意轴 μ 旋转 对应的欧拉角的新公式,最后利用得到的公式求出了绕通过原点和(1,1,1)点的直线旋转 $2/3$ 的欧拉角,从而验证了所得公式的正确性.

关键词:欧拉角;方向余弦;群表示;特征标

中图分类号:O 413

文献标识码:A

文章编号:1000-0712(2006)09-0031-03

根据分子满足的对称群,分子的几何对称性很容易确定.利用分子的几何对称性和群表示理论,人们可以方便地研究分子的许多物理和化学性质,如分子的光谱项、振子强度、光谱选律以及化学反应的性能^[1~3].转动操作是构成分子对称群(分子点群、SO(3)、SO(2)等)的重要操作,它的矩阵表示被广泛应用在量子力学、角动量等领域^[4,5].知道了绕任意轴 μ 旋转 对应的欧拉角,便很容易得到绕任意轴 μ 旋转 的转动的表示矩阵^[2,6,7].在文献[7]中,虽然发现了根据任意轴 μ 的方向余弦和 求解欧拉角满足的表达式,但这些表达式存在问题,需要进行修正.因此,进一步研究绕任意轴 μ 旋转 对应的欧拉角关系显得很有意义.在本文中,我们首先简要回顾了如何根据欧拉角得到转动操作的表示矩阵;然后应用余弦定理、简单的几何关系以及群的特征标理论推导了求解绕任意轴 μ 旋转 对应的欧拉角的一组全新公式;最后根据所得公式求出了绕通过原点和(1,1,1)点的直线旋转 $2/3$ 的欧拉角,从而验证了公式的正确性.根据我们得到的新公式,人们可以得到绕任意轴 μ 旋转 对应的欧拉角,从而得到绕任意轴 μ 旋转 的转动操作的表示矩阵.

1 转动操作关于欧拉角的表示矩阵

根据欧拉转动定理,刚体做定点转动的空间位置需要 3 个独立的变量来确定.这 3 个独立变量通常采用欧拉于 1776 年提出的欧拉角 α 、 β 、 γ .通过 3 个欧拉角的引入,绕任意轴 μ 旋转 的转动可表示为^[2,4]

$$R_{\mu}(\varphi) = R(\alpha, \beta, \gamma) \quad (1)$$

其中 α 、 β 、 γ 的取法见图 1,它们使得空间固定坐标系 $F = XYZ$ 通过 3 个连续的有限转动与物体固定坐标系 $g = xyz$ 一致. $R(\alpha, \beta, \gamma)$ 可以分解为 3 个连续的转动:

$$R(\alpha, \beta, \gamma) = R_z(\alpha) R_N(\beta) R_z(\gamma) \quad (2)$$

其中 $R_z(\alpha)$ 、 $R_N(\beta)$ 、 $R_z(\gamma)$ 分别表示绕 Z 轴、 N 轴、 z 轴转 α 、 β 、 γ .在式(2)中, $R(\alpha, \beta, \gamma)$ 使用了两种坐标系,在很多场合应用起来不方便.根据么正变换的性质,容易知道 $R_N(\beta)$ 可以通过 $R_Y(\beta)$ 在 $R_z(\alpha)$ 的变换下得到^[4],即

$$R_N(\beta) = R_z(\alpha) R_Y(\beta) R_z^{-1}(\alpha) \quad (3)$$

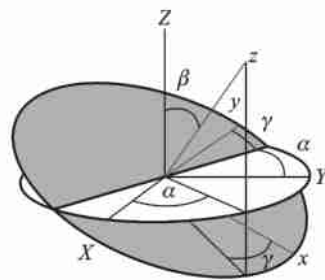


图 1 相对于空间固定坐标系 $F = XYZ$ 与物体固定坐标系 $g = xyz$ 的欧拉角 α 、 β 、 γ

同理,有

$$R_z(\gamma) = R_N(\beta) R_z(\alpha) R_N^{-1}(\beta) \quad (4)$$

$$R_z(\alpha) = R_z(\alpha) R_z(\gamma) R_z^{-1}(\gamma) \quad (5)$$

把式(3)、(4)和(5)代入式(2),得到

收稿日期:2006-01-15

基金项目:鲁东大学人才基金资助项目(042802)

作者简介:王美山(1971—),男,鲁东大学物理与电子工程学院教授,主要从事原子与分子物理的教学和研究.

$$R(\alpha, \beta, \gamma) = R_z(\alpha) R_y(\beta) R_z(\gamma) \quad (6)$$

式(6)给出了绕任意轴 μ 旋转的转动在空间固定坐标系中的表达式.

根据群表示理论,容易得到^[2]

$$R_z(\alpha) = \begin{pmatrix} \cos \alpha & -\sin \alpha & 0 \\ \sin \alpha & \cos \alpha & 0 \\ 0 & 0 & 1 \end{pmatrix} \quad (7a)$$

$$R_y(\beta) = \begin{pmatrix} \cos \beta & 0 & \sin \beta \\ 0 & 1 & 0 \\ -\sin \beta & 0 & \cos \beta \end{pmatrix} \quad (7b)$$

$$R_z(\gamma) = \begin{pmatrix} \cos \gamma & -\sin \gamma & 0 \\ \sin \gamma & \cos \gamma & 0 \\ 0 & 0 & 1 \end{pmatrix} \quad (7c)$$

把式(7a)、(7b)、(7c)代入式(6),得到

$$R_\mu(\alpha, \beta, \gamma) = R(\alpha, \beta, \gamma) = \begin{pmatrix} A & B & \cos \alpha \sin \alpha \\ C & D & \sin \alpha \sin \alpha \\ -\sin \alpha \cos \alpha & \sin \alpha \sin \alpha & \cos \alpha \end{pmatrix} \quad (8)$$

式中:

$$A = \cos \alpha \cos \beta \cos \gamma - \sin \alpha \sin \beta$$

$$B = -\cos \alpha \cos \beta \sin \gamma - \sin \alpha \cos \gamma$$

$$C = \sin \alpha \cos \beta \cos \gamma + \cos \alpha \sin \beta$$

$$D = -\sin \alpha \cos \beta \sin \gamma + \cos \alpha \cos \gamma$$

根据式(8),只要知道了绕任意轴 μ 旋转对应的欧拉角,对应转动的表示矩阵就很容易得到.

2 根据 μ 与 X 、 Y 、 Z 的夹角 ϕ_x 、 ϕ_y 、 ϕ_z 以及转角 α 、 β 、 γ 确定 R_μ

设任意轴 μ 上点 P 的坐标为 (X_0, Y_0, Z_0) , 且 μ 与空间坐标系的坐标轴 X 、 Y 、 Z 的夹角分别为 ϕ_x 、 ϕ_y 、 ϕ_z , 则 μ 的方向余弦为

$$\cos \phi_x = \frac{X_0}{\sqrt{X_0^2 + Y_0^2 + Z_0^2}} \quad (9a)$$

$$\cos \phi_y = \frac{Y_0}{\sqrt{X_0^2 + Y_0^2 + Z_0^2}} \quad (9b)$$

$$\cos \phi_z = \frac{Z_0}{\sqrt{X_0^2 + Y_0^2 + Z_0^2}} \quad (9c)$$

当物体绕任意轴 μ 旋转时,空间固定坐标系的 3 个坐标轴 X 、 Y 、 Z 在 3 个不同的圆锥面上运动,最后与物体固定坐标系的 3 个坐标轴 x 、 y 、 z 重合. 设 X 和 x 、 Y 和 y 、 Z 和 z 之间的夹角分别为 ϕ_x 、 ϕ_y 和 ϕ_z , 容易看出 $\phi_z = \alpha$. 我们首先研究与 z 轴的夹

角 (见图 2).

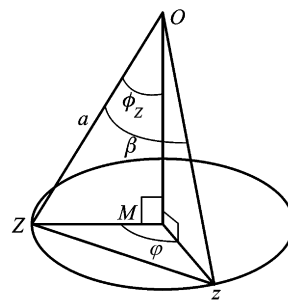


图 2 OZ 绕 μ 旋转形成的四面体 $OZMz$

设 $OZ = a$, Z 在 μ 上的投影为 M , 在 ZOz 和 ZMz 中分别应用余弦定理, 有

$$(Zz)^2 = 2a^2 - 2a^2 \cos \phi_z \quad (10a)$$

$$(Zz)^2 = 2a^2 \sin^2 \phi_z - 2a^2 \sin^2 \phi_z \cos \alpha \quad (10b)$$

比较式(10a)和(10b), 得到

$$\cos \alpha = 1 - \sin^2 \phi_z (1 - \cos \alpha) \quad (11a)$$

用类似的方法, 可以得到

$$\cos \phi_x = 1 - \sin^2 \phi_x (1 - \cos \alpha) \quad (11b)$$

$$\cos \phi_y = 1 - \sin^2 \phi_y (1 - \cos \alpha) \quad (11c)$$

式(11b)、(11c)和(11a)给出了绕任意轴 μ 旋转时 X 和 x 、 Y 和 y 、 Z 和 z 之间的夹角 ϕ_x 、 ϕ_y 和 ϕ_z 分别所满足的表达式. 物体绕 μ 旋转后, 我们容易得到图 3 所示的四面体, 其中 ON 是 OY 绕 OZ 旋转到达的位置. 令 $OY = a$, 在 OYy 和 YNy 中再次应用余弦定理, 得到

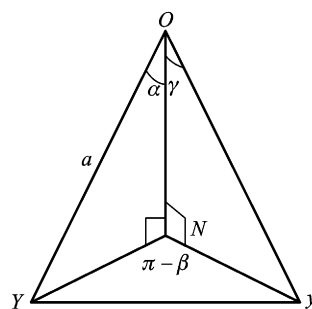


图 3 物体绕 μ 旋转时 OY 、 ON 、 Oy 等线段形成的四面体 $OYNy$

$$(Yy)^2 = a^2 + \frac{a^2 \cos^2 \alpha}{\cos^2 \alpha} - 2 \frac{a \cos \alpha}{\cos \alpha} \cos \phi_y \quad (12a)$$

$$(Yy)^2 = (a \sin \alpha)^2 + (\cos \alpha \tan \alpha)^2 - 2 \sin \alpha \tan \alpha \cos \alpha \cos(\pi - \beta) \quad (12b)$$

比较式(12a)、(12b), 并考虑式(11c), 得到

$$\sin \alpha \cos \alpha \sin \alpha - \cos \alpha \cos \alpha = 1 - \sin^2 \phi_y (1 - \cos \alpha) \quad (13)$$

根据 SO(3) 的特征标理论,绕任意轴 μ 旋转的转动矩阵的特征标为^[6]

$$X^{(1)}(R_{\mu}(\alpha)) = \frac{\sin(3\alpha/2)}{\sin(\alpha/2)} \quad (14)$$

利用式(10)和式(14),有

$$\cos \alpha + (1 + \cos \alpha) \cos(\alpha/2) = \frac{\sin(3\alpha/2)}{\sin(\alpha/2)} \quad (15)$$

式(11a)、(13)和(15)给出了根据任意轴 μ 的方向余弦角 ϕ_x, ϕ_y, ϕ_z 和 α 确定欧拉角 β, γ 的新的求解公式,即

$$\cos \beta = 1 - \sin^2 \phi_z (1 - \cos \alpha) \quad (16a)$$

$$\sin \beta \cos \gamma = \frac{\sin \alpha \cos \alpha - \cos \alpha \cos \beta}{1 - \sin^2 \phi_y (1 - \cos \alpha)} \quad (16b)$$

$$\cos \gamma + (1 + \cos \gamma) \cos(\alpha/2) = \frac{\sin(3\alpha/2)}{\sin(\alpha/2)} \quad (16c)$$

3 绕通过原点和点(1,1,1)的直线旋转 $2\pi/3$ 时的欧拉角

根据式(9a)、(9b)和(9c),得到通过原点和(1,1,1)的直线的方向余弦为

$$\cos \phi_x = \cos \phi_y = \cos \phi_z = 1/\sqrt{3} \quad (17)$$

所以

$$\sin^2 \phi_x = \sin^2 \phi_y = \sin^2 \phi_z = 2/3 \quad (18)$$

把式(18)和 $\alpha = 2\pi/3$ 代入式(16a)~(16c),得到 $\cos \beta = 1/2, \sin \beta \cos \gamma = 1/2, \cos \gamma = 0$ 和 $\beta = 0, \gamma = \pi/2, \gamma = 3\pi/2$ 两组解。当 $\beta = \pi/2, \gamma = \pi/2, \gamma = 3\pi/2$ 时,由式(10)得到

$$R(\pi/2, \pi/2, 0) = \begin{pmatrix} 0 & 0 & 0 \\ 0 & 0 & 1 \\ -1 & 0 & 0 \end{pmatrix} \quad (19)$$

把式(19)作用在 $(1,1,1)^T$ 上,有

$$\begin{pmatrix} 0 & 0 & 0 \\ 0 & 0 & 1 \\ -1 & 0 & 0 \end{pmatrix} \begin{pmatrix} 1 \\ 1 \\ 1 \end{pmatrix} = \begin{pmatrix} 0 \\ 1 \\ -1 \end{pmatrix} \quad (20)$$

由于点(1,1,1)在旋转轴 μ 上,它的值是不随绕 μ 的转动而改变的,因此式(20)的结论是错误的,也就是说解 $\beta = \pi/2, \gamma = \pi/2, \gamma = 3\pi/2$ 应该删去。所以绕通过原点和点(1,1,1)的直线旋转 $2\pi/3$ 时的正确欧拉角是 $\beta = 0, \gamma = \pi/2, \gamma = 3\pi/2$,从而验证了式(16a)~(16c)的正确性。

文献[7]第121页给出了与上面结论形式不同的、根据轴 μ 的方向余弦和转角 α 求解欧拉角的表达式,即

$$\cos \frac{\alpha}{2} = \cos \frac{\beta}{2} \cos \frac{\gamma}{2} \quad (21a)$$

$$\sin \frac{\alpha}{2} \sin \frac{\beta}{2} \sin \frac{\gamma}{2} = \sin \frac{\beta}{2} \sin \frac{\gamma}{2} \quad (21b)$$

$$\mu = \frac{\sin \frac{\alpha}{2} \cos \frac{\beta}{2} \sin \frac{\gamma}{2}}{\sin \frac{\beta}{2} \sin \frac{\gamma}{2}} \quad (21c)$$

$$= \frac{\sin \frac{\alpha}{2} \sin \frac{\beta}{2} \sin \frac{\gamma}{2}}{\sin \frac{\beta}{2} \sin \frac{\gamma}{2}} \quad (21d)$$

当用通过原点和(1,1,1)的直线转 $2\pi/3$ 验证时,得到的结果是 $\beta = \pi/2, \gamma = \pi/2, \gamma = 0$ 。根据前面分析,此结果是错误的,因此式(21a)~(21d)显然存在问题。通过仔细分析,发现只要(21b)取下面形式:

$$= \frac{-\sin \frac{\alpha}{2} \sin \frac{\beta}{2} \sin \frac{\gamma}{2}}{\sin \frac{\beta}{2} \sin \frac{\gamma}{2}} \quad (21b')$$

就能得到正确的结果。需要指出的是,我们无法确定(21b)中的错误是不是印刷失误造成的。

4 总结

应用余弦定理、简单的几何关系以及群的特征标理论,我们推导了求解绕任意轴 μ 旋转 对应的欧拉角的新公式,这组公式只有3个表达式,比式(21a)~(21d)更简洁;应用得到的公式,我们正确求出了绕通过原点和(1,1,1)点的直线旋转 $2\pi/2$ 的欧拉角;把欧拉角结果代入式(10),我们得到了转动操作的表示矩阵;最后,我们分析了文献[7]给出的结果所存在的问题,同时作了相应修正。

参考文献:

- [1] 徐亦庄. 分子光谱理论[M]. 北京:清华大学出版社, 1998. 98~113.
- [2] 徐光宪,黎乐民. 量子化学:基本原理和从头计算法(上册)[M]. 北京:科学出版社, 1995. 387~394.
- [3] 鲁崇贤,赵长惠. 分子点群及其应用[M]. 北京:高等教育出版社, 1995. 159~169.
- [4] 杰尔 R N. 角动量:化学及物理学中的方位问题[M]. 赖善桃等译. 北京:科学出版社, 1995. 79~84.
- [5] 曾谨言. 量子力学 卷 [M]. 北京:科学出版社, 2004. 304~314.
- [6] 韩其智,孙洪州. 群论[M]. 北京:北京大学出版社, 1988. 101~105.
- [7] 方可. 群论及其在物理和化学中的应用[M]. 重庆:重庆大学出版社, 1987. 117~126.

(下转 58 页)

Cavity effect in granular matter

WANG Wei-ming , HU Lin

(Department of Physics , Photoelectron Technology and Application Lab , Guizhou University , Guiyang 550025 ,China)

Abstract : The cavity effect in granular matter is studied experimentally. When pulling a stick out the granular matter , it create a sustained cavity under it , and all the system 's construction will be breakdown because of the cavity , the breakdown situation can be explored by the friction force of the stick. The relationship between the breakdown time t and the cavity 's depth h is exponential , t is proportion to $\exp(h/)$ that we obtained by experiment , and it is unaffected by changing the granular size. We do an two-dimension experiment at the same time , to understand the inside situation of the granular matter clearly.

Key words : granular matter ; cavity ; force chain ; breakdown time

(上接 33 页)

New formulae of Euler angle related to rotating around arbitrary axis μ

WANG Mei-shan ,LI Wen-liang ,YANG Chuan-lu ,WANG De-hua ,REN Ting-qi

(School of Physics and Electronic Engineering ,Ludong University , Yantai 264025 ,China)

Abstract : The method of how to obtain the representation matrix of rotation operation with respect to Euler angles was reviewed. New formulae of Euler angle related to rotating around arbitrary axis μ are deduced according to cosine theorem ,simple geometry relations and character theory of group. Euler angles related to rotating $2/3$ around line which passes origin and $(1,1,1)$ are obtained employing the obtained expressions.

Key words : Euler angles ;direction cosine ;group representation ;character of group

(上接 38 页)

版社 ,2002.9,27 ~ 31.

参考文献 :

[1] 丁慎训 ,张连芳.物理实验教程[M].北京:清华大学出

A new method using torsion pendulum to verify the parallel axis theorem

QIU Ju¹ ,LIU Yu-xing² ,KONG Yan¹

(1. The Pilot College ,Beijing University of Technology ,Beijing 100024 ,China ;

2. College of Applied Science ,Beijing University of Technology ,Beijing 100022 ,China)

Abstract : A new method using torsion pendulum to verify the parallel axis theorem is reported.

Key words : moment of inertia ;parallel axis theorem ; torsion pendulum